

いと思われる。しかしこの係数は地盤の影響を非常に顕著に受けるので実際使用する場合には現場実験を行ない確かめることが望ましい。図-3は周面地盤反力係数の分布の一例を示したものである。図から明らかのようにほぼ三角形分布をしていると見なしてよいようである。しかしこれは必ずしも地盤の硬さが三角形分布をしていることにはほらない。すなわち土の非線型性の影響が大きく表れていると見なすべきであろう。しかし静的な設計計算のみを行なう場合にはこのことは問題とはほらない。しかし動的な計算を行なう場合にはこの値をこのまゝ用いることには問題がある。今後は動的な場合についてより厳密な実験、解析が必要である。

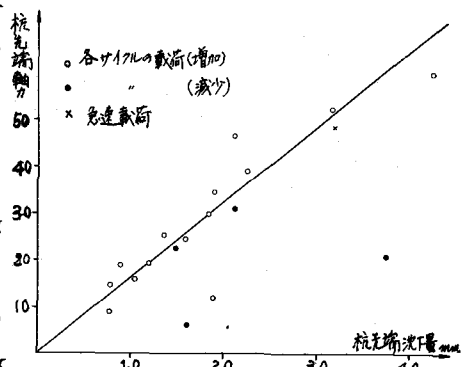


図-2 杭先端軸角と杭先端沈下量の関係

3. 杭基礎の地震応答計算

3.1. 序

地震時における地盤の応答計算法には種々の方法が考えられる。広く一般に用いられている方法としては質点系に分ける方法、Modal Analysis、波動論による方法等がある。実際には基礎地盤を伝わり、来たせん断波が表層下端から入射し、表層をせん断波が反射層折して複雑な挙動をすることを考えなくてはならない。しかし実際に波動として構造物との interaction を考えるのは非常に困難であるのでより簡便な方法が必要である。

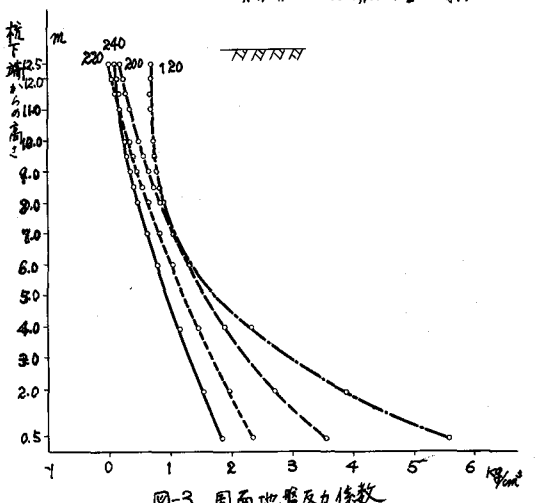


図-3 周面地盤反力係数

そこで著者等は、Modal Analysis を用いて杭基礎の地盤変形を考慮した応答計算法を提案し、前論に用いた斜組杭の応答計算を行ない、その動的挙動を明らかにした。

3.2. 基本的考え方

Modal Analysis の特徴は計算の簡便さにあるといえる。しかし地盤変形の影響をほら構造物と地盤との相対変位に比例する反力を Lagrange の方程式で一般力として用いた場合は計算が非常に複雑になるばかりでなく、地盤が深くほると計算値に相当の誤差が出て来る。以上のような欠点を除くために次のような考えに基づいて計算を行なった。

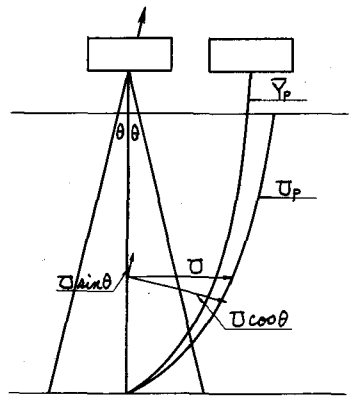


図-4

まず地盤は変形せず杭基礎はバネだけで表えられていて減衰はほらものとす。考えている系の振動数方程式を求め、固有振動数 ω_n および振動型 Y_n を求める。振動型 Y_n を基準座標とし、一般座標 Q_n とすると基礎層における地震加速度 \ddot{u}_g と表層地盤と基礎層との相対変形により生じる加速度による応答変位 y は次式で表わされる。

$$y = \sum_{n=1}^R a_n Y_n \dots (1) \quad (R \text{ は計算に用いる最高次数})$$

次に地盤はせん断振動を行はるとして地盤のせん断振動の方程式より \$P\$ 次の振動型 \$U_p\$ を求めると、地盤の変位 \$u\$ は \$b_p\$ を一般座標として次式で表わされる。 $u = \sum_{p=1}^P b_p U_p$ (2)

次に地盤が振動型 \$U_p\$ のように静変位した時の杭基礎の変位を \$Y_p\$ とすると(2)式で表わされる一般座標 \$b_p\$ を用いて、地盤が(2)式で示されるような変形をした時の杭基礎の変位は次式で表わされる。 $y = \sum_{p=1}^P b_p Y_p$ (3)

ゆえに基礎から入力波が与えられた場合の杭基礎の応答変位 \$y\$ は(1)式と(2)式の和として示される。

次にモーメント、軸力、せん断力等、内力 \$M\$ を求めるには変位と同様に(1)式で求められる。

$$M = \sum_{r=1}^R A_r M_r + \sum_{p=1}^P b_p M_p$$
 (4)

ただし、\$M_r\$ は杭基礎が振動型 \$Y_r\$ の形に変形した時に杭に生ずる内力の型であり、\$M_p\$ は地盤が \$U_p\$ の形に静変位した時に生ずる内力の型を示している。

3.3. 地盤および杭の応答計算式

地盤の応答計算式は Lagrange の方程式に代入して次式で示される。

$$\ddot{b}_p + z_{hp} n_p \dot{b}_p + n_p^2 b_p = -\beta_p \ddot{\phi}$$
 (5)

ただし、\$z_{hp}\$ は \$p\$ 次の減衰定数、\$\beta_p\$ は刺激係数、\$\phi\$ は基礎層における地震加速度、\$n_p\$ は固有円振動数である。

次に杭基礎の応答計算式は次式で示される。

$$\ddot{a}_r + z_{hr} n_r \dot{a}_r + n_r^2 a_r = -\frac{1}{M_r} \left\{ M_r \ddot{\phi} + \sum_{p=1}^P b_p \ddot{M}_{rp} \right\}$$
 (6)

ただし、\$z_{hr}\$ は \$r\$ 次の減衰定数、\$n_r\$ は \$r\$ 次の固有円振動数、\$M_r\$、\$M_r\$、\$\ddot{M}_{rp}\$ 慣算質量である。右辺の一般力の項の \$1\$ 項は基礎層における地震加速度 \$\phi\$ による慣性力の項、\$2\$ 項は、表層地盤と基礎層との相対変形により生じる慣性力の項である。

(5)、(6)式を用いれば地盤の応答と杭の応答が個々に得られ非常に簡単に地盤変形を考慮した応答計算を行なうことができる。

3.4 斜組杭の地震時応答計算例

数値計算に当り、ては前論と同様に図-4の採り系を用い、次のような仮定を設けた。

- (1) 地盤のせん断弾性定数、横方向および軸方向の地盤反力係数は深さ方向に一定であるとする。
- (2) 杭下端ではピン構造およびバネ支持とし、杭頭は回転拘束でロッキング振動は行はれないとする。
- (3) 杭長は 20m、土の深さは 5m、10m、15m で代表させる。
- (4) 土の付着質量は無視する。
- (5) 基礎層から与えられる地震加速度 \$\phi\$ としては比較的硬い地盤で得られた地震記録 (Elcentro 地震 NS 成分, 1940) を用いる。

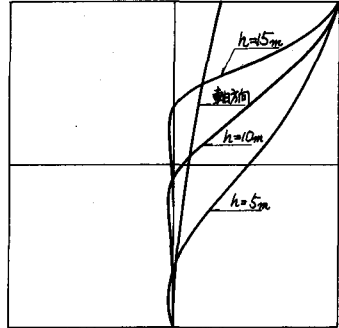


図-5 振動型(変位) \$Y_1\$

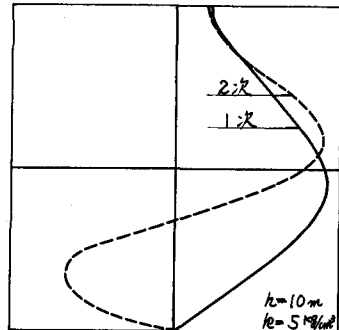


図-6 振動型(変位) \$Y_p\$

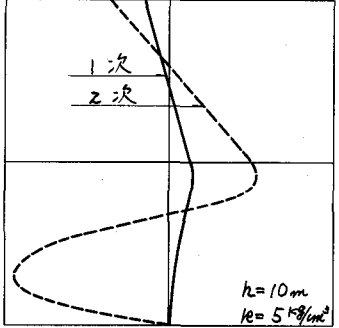


図-7 振動型(モーメント) \$M_p\$

図-5, 6, 7 は振動型 Y 及び内力の型 M の 1 例を示したものである。図-8 は杭頭の応答変位である。図からも明らかのように地盤が浅い場合は ($h=5m$) ほとんど杭の固有周期で振動し地盤変形の影響をそれほど大きく受けない。しかし地盤が深くなると ($h=15m$) ほぼ地盤の固有振動数で振動し、地盤変形の影響が非常に大きいことがわかる。その中間の所では ($h=10m$) 複雑な挙動を示し、地盤変形がむしろ、変位を小さくする方向に働くことがある。これらのことは図-9 から明らかである。図-10 は直杭の杭頭曲げモーメントの最大応答であるが変位と全く同様に地盤が深いほど地盤変形の影響を大きく受けることがわかる。斜組杭は直杭に比し、杭頭変位を小さくすることは出来るが地盤変形の影響を顕著に受けるので設計の際十分考慮しなければならぬ。地盤が浅い場合は斜組杭を用いることは十分有効であろう。

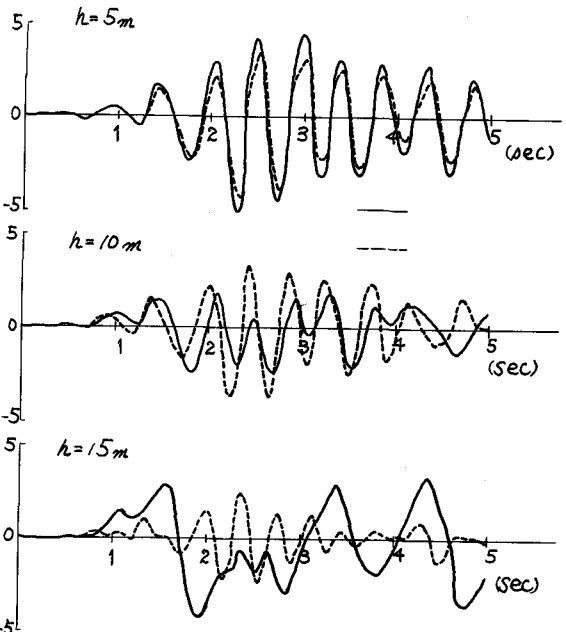


図-8 杭頭地震応答変位 ($h=5m, 10m, 15m$)

4. 結論

本計算法は振動型さえわかれば非常に簡単に杭基礎の地盤変形を考慮した計算を行なうことができる。また、斜組杭において地盤が深くなると地盤変形の影響を考慮して計算を行なわなければならないことが明らかになった。しかし、地盤変形はエのせん断弾性定数に大きく支配されるので、その絶対量、深さ方向の分布が更に明らかになればならない。

5. 参考文献

- (1) 小坪, 荒牧: 『斜組杭の地震時応力について』 第9回地震工学研究発表会講演概要集 542
- (2) 小坪, 荒牧: 『地盤変形を考慮した斜組杭の地震時応答計算法について』 九大工学集報 第42巻 2号 P.129

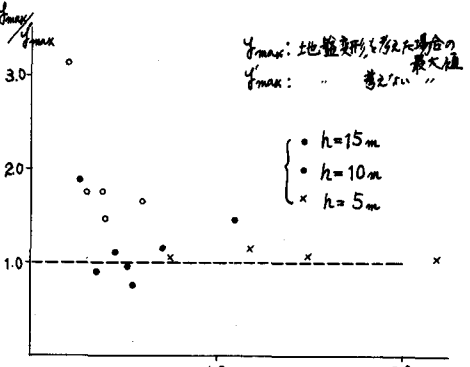


図-9 杭頭変位応答最大値(直杭)

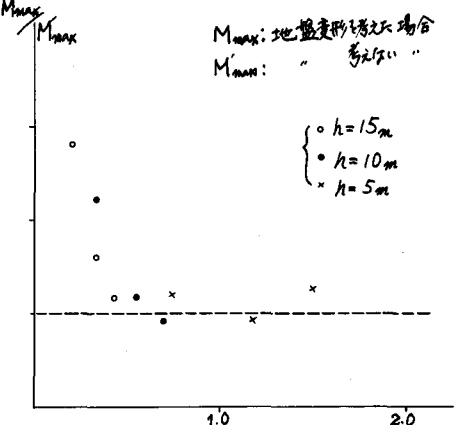


図-10 杭頭曲げモーメント応答最大値